

مجله مخاطرات محیط طبیعی، دوره هشتم، شماره بیست و دوم، زمستان ۱۳۹۸

تاریخ دریافت مقاله: ۱۳۹۷/۰۲/۱۳

تاریخ بازنگری اولیه مقاله: ۱۳۹۷/۰۷/۲۱

تاریخ پذیرش مقاله: ۱۳۹۷/۰۹/۲۴

صفحات: ۵۹ - ۷۴

پیش‌بینی بارش‌های سنگین غرب کشور بر اساس برآوردهای رادار هواشناسی با استفاده از روش Z-R

فرشاد صفرپور^۱، جواد خوشحال دستجردی^{۲*}، سید ابوالفضل مسعودیان^۳

چکیده

میزان بارش اندازه‌گیری شده توسط رادار با میزان بارش دریافت شده در سطح زمین تفاوت دارد. این اختلاف علل متعددی دارد که برخی از آن‌ها به ماهیت رادار و برخی دیگر به شرایط آب و هوایی هر منطقه مربوط می‌شود. در نتیجه برای تعیین میزان بارش‌های دریافتی در سطح زمین از داده‌های حاصل از رادار، باید داده‌های رادار را بر اساس داده‌های زمینی تصحیح کرد. پیوند میان بارش و بازنگری رادار نمایی است از $Z = aR^b$. اگر مقادیر ضرایب این مدل درست انتخاب نشوند برآورد مقدار بارش توسط رادار با استimation همراه می‌شود. اندازه و توزیع چکه‌های بارش اثر زیادی بر مقادیر ضرایب این مدل دارد. دامنه‌ی وردش در ضرایب این مدل بسیار زیاد است. در این پژوهش از داده‌های رادار کرمانشاه به عنوان نماینده غرب کشور استفاده شد. اینتا بارش‌های ۱۲ تا ۱۳ آذر سال ۱۳۹۵ و ۲۲ تا ۲۴ بهمن سال ۱۳۹۶ ایستگاه‌های کرمانشاه، سویل ذهاب، قصرشیرین، اسلام‌آباد، کنگاور، روانسر، سنقر، گیلان‌غرب، جوانود، هرسین، سومار و تازه‌آباد که در محدوده‌ی ۳۰ تا ۱۰۰ کیلومتری رادار کرمانشاه جا گرفته‌اند، بررسی شد. در بارش اول برای هریک از نقاط مورد مطالعه، زاویه‌ی ارتفاع بهینه‌ی پرتو انتخاب و رابطه‌ی مربوط به آن نقطه استخراج و ضرایب تصحیح بدست آمد. با استفاده از این رابطه مقدار بارش برآورده رادار از ۳۵ درصد به ۹۷ درصد یافته و میانگین مجموع بارش برآورده رادار از $9/2$ به $30/1$ میلی- متر رسید که از میانگین واقعی فقط ۴ میلی‌متر کمتر است. در بارش دوم، با استفاده از داده‌های بارش تمام نقاط مورد مطالعه، فقط یک معادله استخراج شد و ضرایب تصحیح رادار به دست آمد. نتایج برآورده بارش رادار به این روش نیز با تقریب خوبی مورد قبول بود و میانگین مجموع بارش برآورده رادار از $11/3$ به $29/5$ میلی‌متر افزایش یافت که ۶ میلی‌متر از مقدار واقعی کمتر بود. اگر ضرایب رادار برای مناطق مختلف به درستی تصحیح شوند، می‌توان بارش‌ها را پیش‌بینی و از وقوع حوادث غیرمتوجه جلوگیری کرد.

وازگان کلیدی: رادار هواشناسی، برآورد بارش، کالیبره کردن، غرب ایران.

^۱farshadclima2008@gmail.com

j.khoshhal@geo.ui.ac.ir

porcista@yahoo.com

^۲- دانشجوی دکتری، آب و هواشناسی، دانشگاه اصفهان

^۳- دانشیار، آب و هواشناسی، دانشگاه اصفهان (نویسنده مسئول)

^۳- استاد، آب و هواشناسی، دانشگاه اصفهان

مقدمه

برآورد الگوهای (مدلسازی) رفتار بارش، از بنیادهای اصلی در تحقیقات مکانی اقلیمی محسوب می‌شود (قاله‌ی فلاح و کدخدا، ۱۳۹۵). بارش‌های غرب کشور همانند سایر مناطق کوهستانی عمدتاً کوهبارشی (اوروگرافیک) و رگباری می‌باشد. پیش‌بینی بارش‌های رگباری از لحاظ شدت، مقدار و تداوم به روش‌های معمول، اغلب به طور دقیق میسر نبوده و به پیش‌بینی‌های بسیار خبره و آشنا به شرایط محلی نیاز دارد. این امر منجر به سیلاب‌های شدید، مخرب و گاهی فاجعه‌بار در این مناطق می‌گردد. امروزه رادارهای هواشناسی می‌توانند به عنوان ابزاری بسیار ارزشمند برای پیش‌بینی بارش‌های رگباری در اختیار متخصصان پیش‌بینی قرار گیرند، به شرطی که با شرایط محلی ستجه‌سازی گشته و در طی زمان و با تغییرات آب و هوایی واسنجی شوند. هدف تحقیق حاضر نیز سنجه‌سازی رادار هواشناسی کرمانشاه با شرایط استان مذکور است تا متخصصان پیش‌بینی با به کار گیری این رادار بتوانند ویژگی‌های بارش را قبل از وقوع آن پیش‌بینی کرده، هشدارهای لازم را به مردم و مسئولان داده و از خسارات به مساکن، ابنيه‌های تاریخی، تاسیسات شهری و روستایی، مزارع، انسان و حیوانات تا حد ممکن جلوگیری نمایند.

پیش‌بینی بارش‌ها به روش‌های مختلفی صورت می‌گیرد که مهم‌ترین آن‌ها عبارتند از پیش‌بینی همدید، پیش‌بینی ترمودینامیک، پیش‌بینی ماهواره‌ای و پیش‌بینی راداری. در سه روش نخست، اولاً مقدار، زمان و مکان دقیق بارش امکان‌پذیر نیست و دوماً فواصل زمانی بین دیده‌بانی‌ها حداقل ۶ و یا ۱۲ ساعت خواهد بود. اصلی‌ترین علت پایین بودن دقت پیش‌بینی مقدار و مکان بارش نیز به چیدمان و فواصل زیاد ایستگاه‌های زمینی و قدرت تفکیک پایین آن‌ها مربوط می‌شود که در اثر آن بسیاری از سرزمین‌های واقع در بین جایگاه‌ها قبل رویت نبوده و در نظر گرفته نخواهد شد؛ اما در پیش‌بینی راداری محل دقیق و میزان بارش نقاط کم‌مساحت هم تا حدود زیادی امکان‌پذیر است. زیرا قدرت تفکیک رادار بالا بوده و نیز به علت نفوذ پرتوهای آن در درون ابرها و اندازه‌گیری مقدار رطوبت در داخل طبقات آن‌ها، رادار به سرعت و با دقت بالا می‌تواند محل و میزان بارش‌های ناشی از ابرهای مختلف را برآورد و محاسبه کند.

میزان بارش اندازه‌گیری شده توسط رادار با میزان بارش دریافت شده در سطح زمین تفاوت دارد. این اختلاف علل متعددی دارد که برخی از آن‌ها به ماهیت رادار و برخی دیگر به شرایط آب‌وهایی هر منطقه و ویژگی‌های سطح زمین مربوط می‌شود (چرستدوالو و میشل^۱، ۲۰۰۴). امروزه رادارهای هواشناسی برای اندازه‌گیری شدت بارش در مناطق نسبتاً وسیع و با درجه‌ی تفکیک مکانی و زمانی مناسب بکار می‌روند. معادله‌ی رادار هواشناسی پیوند بین توان دریافتی توسط رادار و ویژگی‌ها و فاصله‌ی هدف تا رادار را بیان می‌کند. با استفاده از معادله زیر می‌توان مقادیر چکه‌های بارش را محاسبه کرد:

$$\bar{P}_r = C \frac{|K|^2}{r^2} Z \quad (1)$$

\bar{P}_r میانگین پژواک (بر حسب وات) دریافتی از چکه باران‌هایی که در فاصله‌ی r کیلومتری رadar هستند، C ثابت رadar، $|K|^2$ ضریبی که به ثابت دیالکتریک آب (≈ 0.93) وابسته می‌باشد و Z ضریب بازتابندگی رadar بر حسب میلی-متر بر مترمکعب است. مقدار C ، وابسته به مشخصات فنی رadar و $|K|^2$ و Z وابسته به ویژگی‌های بارش هستند (Uijlenhoet^۱، ۲۰۰۱). با ثابت در نظر گرفتن $|K|^2$ آب رابطه (۱) را می‌توان به صورت زیر نوشت.

$$P_r = C \frac{Z_e}{r^2} \quad (2)$$

Z_e ضریب بازتابندگی رadar است که به تعداد و اندازه چکه‌های بارش بستگی دارد (لی و زاداوski^۲، ۲۰۰۵). آزمایش‌هایی که در طول موج ۱۰ سانتی‌متری رadar انجام شد، نشان داد که توان بدست آمده از بازتابش چکه‌های بارش با ضریب بازتابندگی رadar، با توان ششم قطر چکه‌های بارش مناسب است و این تناسب در برآورد شدت بارش تا فاصله ۱۰۰ کیلومتری رadar مفید است (مارشال و آبرتو^۳، ۲۰۰۲). این تناسب بر چندین فرض استوار است: ۱- واسنجی رadar عالی انجام شده باشد، ۲- پخش از رابطه ریلی پیروی کند، ۳- پرتو رadar دستخوش تضعیف نشود، ۴- مانعی در برابر پرتوهای رadarی نباشد و ۵- انتشار پرتوها دستخوش ناهنجاری نشود (Battan^۴، ۱۹۷۳).

در رابطه با برآورد بارش توسط رadar و صحبت‌سنگی داده‌های رadar در ایران و جهان پژوهش‌های زیادی صورت گرفته است. پژوهش محمدیها، معماریان و ریحانی پوری (۱۳۹۲) در واسنجی برآورد بارش رadar هواشناسی تهران نشان داد که مقادیر برآورد بارش رadar از مقادیر بارش باران‌سنچ‌ها کمتر است. که این ناسازگاری میان رadar و باران‌سنچ‌ها در اوج شدت بارش بیشتر است. نتایج این پژوهش نشان داد که با تصحیح ضرایب رadar در هر نقطه و در هر فصل، برآورد بارش رadar به مقدار درست نزدیک‌تر می‌شود.

مکوندی (۱۳۸۹)، به منظور ارزیابی دقت تخمین بارندگی رadar، داده‌های رadar هواشناسی تبریز را واسنجی کرد. نتایج تحقیق نشان داد که ضرایب پیش‌فرض رadar برای پیش‌بینی بارش مناسب نیست. وی برای برآورد بهتر بارش، مقدار a و b را به ترتیب $18/6$ و $1/19$ برای رadar تبریز پیشنهاد کرد.

همچنین طوفانی‌نژاد و همکاران (۱۳۸۷)، توانایی سیستم رadarی باند X در تخمین بارندگی در یک منطقه شهری در کشور هلند را مورد بررسی قرار دادند. برای این کار ابتدا داده‌های رadarی از خطاهای ناشی از کلاتر زمین و تضعیف سیگنال تصحیح شده و سپس شدت بارندگی از روی داده‌های اصلاح شده را محاسبه کردند و در نهایت نتایج حاصله با میزان شدت بارندگی ثبت شده توسط 4 باران‌سنچ موجود در منطقه مورد مقایسه قرار گرفته است. بررسی‌ها نشان داد که روند سری زمانی نتایج رadarی مطابق روند سری زمانی داده‌های ثبت شده توسط باران‌سنچ‌ها می‌باشد، اما اندازه-گیری‌های انجام شده توسط رadar نیاز به اصلاح و واسنجی دارد.

1 - Uijlenhoet

2 - Lee and Zawadzki

3 - Michela and Alberto

4 - Battan

آمیتای و همکاران^۱ (۲۰۰۲) برای واکاوی ناتوانی رادار هواشناسی در برآورد بارش در کشور کره جنوبی، داده‌های نخست رادار و داده‌های تصحیح شده رادار و داده‌های بدستآمده به روش کریجینگ را در مدل‌های آب‌شناسی آزمایش کردند و به این دستآوردهای رسیدند که داده‌های تصحیح شده رادار به مقدار واقعی نزدیکتر است. اوریم و هالمن^۲ (۲۰۰۸) داده‌های برآورد شده رادار برای یک دوره ۱۰ ساله و در بازه‌های زمانی ۱، ۲، ۴، ۸، ۱۲ و ۲۴ ساعته و با درجه تفکیک ۲,۴ کیلومتر مربع در هلند را واکاوی کردند. همچنین اوریم و بیشاند^۳ (۲۰۰۹) به کمک رادار هواشناسی، بارش‌های سنگین هلند را در یک دوره ۱۱ ساله واکاوی کردند و منحنی شدت-مدت-فرابویی را برای بازه زمانی ۱۵ دقیقه تا ۲۴ ساعته خطایابی کردند.

مایکلا و همکاران^۴ (۲۰۰۸) در واکاوی داده‌های راداری و داده‌های زمینی در ایتالیا نتیجه گرفتند که تراکم بسیار خوب یک شبکه‌ی باران‌سنج هم نمی‌تواند به خوبی رادار جزئیات بارش‌های همروفتی را نشان دهد. اسمیت و کراجوسکی^۵ (۲۰۰۲) دامنه وردش a از چند ده تا چند صد و دامنه وردش b بین ۱ تا ۳ در نظر گرفته‌اند. مارشال و گان^۶ (۱۹۵۵) پیوند نزدیکی برای مقادیر بارش بین ۱ تا ۵۰ میلی‌متر بر ساعت را برای رابطه R-Z بیان کرده و باور دارند استفاده از این رابطه برای انواع بارش‌های مختلف مفید است.

با در نظر گرفتن نتایج پژوهش‌های فوق این پژوهش قصد دارد ضرایب رادار کرمانشاه که بطور پیش‌فرض $a=200$ و $b=1.6$ است را تصحیح نماید تا مقدار برآورد بارش به مقدار دقیق‌تر نزدیک شود. با توجه به آن‌چه گفته شد، مسئله اصلی این پژوهش عبارت خواهد بود از این‌که در غرب کشور چه رابطه و یا روابطی بین بارش‌های اندازه‌گیری شده توسط رادار و بارش‌های اندازه‌گیری شده توسط باران‌سنج‌های زمینی وجود دارد تا بتوان با اعمال این رابطه و یا روابط بر روی داده‌های ناشی از رادار، به سرعت بارش‌هایی را که بر روی زمین فرو خواهد ریخت را برآورد نمود.

داده‌ها و روش‌ها

در این پژوهش برای تصحیح ضرایب، از داده‌های باران سنج‌هایی که در محدوده‌ی فاصله‌ی افقی بین ۳۰ تا ۱۰۰ کیلومتری رادار کرمانشاه فرار دارند، استفاده شد. پس از کنترل کیفی و کمی بارش‌ها، داده‌های بارشی ۱۰ ایستگاه (کرمانشاه، سرپل ذهاب، قصرشیرین، اسلام‌آباد، کنگاور، روانسر، سنقر، گیلان‌غرب، هرسین و تازه‌آباد) که موقعیت و فاصله‌ی آن‌ها در شکل ۱ نشان داده شده است، انتخاب شد و دیگر ایستگاه‌ها به دلیل نبود پیوستگی آماری و نبود دقت باران‌سنج و مسدود شدن پرتو رادار و ... برای این پژوهش مناسب نبودند. برای این کار ابتدا در نرم‌افزار متلب یک شبکه مختصات جغرافیایی که در محدوده رادار کرمانشاه بود، ایجاد شد که هر پیکسل آن یک کیلومتر مربع بود. بنابراین یک ماتریس ۸۰۰*۸۰۰ برای داده‌های رادار ایجاد شد. دو رخداد بارشی بازه زمانی ۱۲ تا ۱۳ آذر سال ۱۳۹۵

۱ - Amitai et al

۲ - Overeem and Holleman

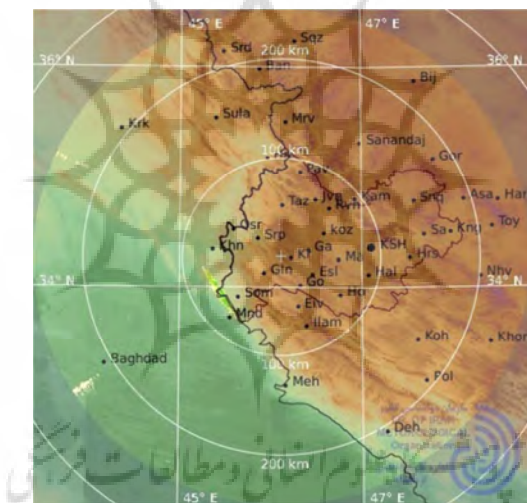
۳ - Overeem and Buishand

۴ - Michela et al

۵ - Smith and Krajewski

۶ - Marshall and Gunn

و ۲۲ تا ۲۴ بهمن سال ۱۳۹۶ که دارای گستره‌ی افقی بیشتر و همچنین شدت و مقدار خوبی بودند برای این پژوهش برگزیده شدند. تمامی ایستگاه‌های منطقه مورد مطالعه دارای داده‌های بارشی ۱۰ دقیقه‌ای بودند. داده‌های رادار کرمانشاه در بازه زمانی ۱۵ دقیقه‌ای بود. به کمک نرم‌افزار Rainbow (نرم‌افزاری برای تبدیل داده‌های خام رادار به نگاره و فراورده‌های راداری است و در حال حاضر فقط سازمان هواسناسی کشور از آن بهره می‌برد). نخست مقدار بازتابندگی رادار در زمان‌های مشخصی که بارش رخ داده بود یادداشت کرده و با مقدار بارش بدست آمده از باران-سنج مطابقت شد. پس از بدست آوردن مقادیر تازه ضرایب رادار، به کمک نرم‌افزار، نخست شدت بارش سطحی و سپس مجموع بارش یک ساعته آن بدست آمد. از آنجا که مقادیر و شدت بارش رادار بر حسب میلی‌متر بر ساعت است، مقادیر بارش باران‌سنج‌ها نیز به میلی‌متر بر ساعت تبدیل شد. برای برگزیدن ضرایب a و b و واسنجی رادار، داده‌های بارشی باران‌سنج و مقدار بازتابندگی Z ، مورد نیاز است که از باران‌سنج‌های زمینی و رادار به دست آمد.



شکل ۱: موقعیت و محدوده جغرافیایی مورد مطالعه

رابطه $Z - R$

شدت بارش از رابطه^(۴) بدست می‌آید که در آن $V(D)$ تابع تندی حدی فروافتادن چکه‌های باران در هوای آرام بر حسب متر بر ثانیه و D قطر معادل چکه‌های باران بر حسب میلی‌متر است. ساده‌ترین و رایج‌ترین شکل این تابع، رابطه‌ی توانی^(۵) است (لی و زاداوکی، ۲۰۰۵).

$$R = 6\pi \times 10^{-4} \int_{D_{min}}^{D_{max}} V_D D^3 N_D dD \quad (3)$$

$$V(D) = C D^\gamma \quad (4)$$

جز ذرات با قطر کوچک، دیدبانی‌های تجربی را می‌توان با رابطه عمومی^(۶) برازش کرد که در آن D قطر چکه‌ها و N_D تعداد چکه‌ها که قطر آنها بین D و $D + dD$ در واحد حجم است و N_0 تعداد چکه‌های بارش برای قطر مساوی $0,8$ میلی‌متر است.

برای هر شدت بارش مقدار Λ از رابطه (۷) و بر حسب میلی‌متر بر ساعت بدست می‌آید و R شدت بارش بر حسب میلی‌متر بر ساعت است (زاوادسکی^۱، ۱۹۸۸).

$$\Lambda = 41R^{-0.21} \quad (5)$$

یکی از اولین گزارش‌های اندازه‌گیری بارش توسط رادار، گزارش مارشال در سال ۱۹۴۷ بود. که رابطه تجربی را بر پایه پیوند بین فاکتور بازتابندگی Z و مقدار بارش R بصورت رابطه نمایی $Z = aR^b$ پیشنهاد کرد. a و ضرایبی هستند که ممکن است از یک فصل به فصل دیگر متفاوت باشند (جدول ۱) (یوجلنهوت^۲، ۱۹۹۹).

جدول ۱: ضرایب a و b در رابطه $Z = aR^b$ بدست آمده از واکاوی رابطه‌یی بارش رادار و مقادیر N_0 و μ ضرایب اشعه گاما توزیع چکه-های بارش و مقادیر مطابقت داده شده ضرایب ϵ و δ در رابطه $R - D_0 = \epsilon R^\delta$ از رابطه D_0 تعیین ارتباط بین شدت بارش R و قطر چکه‌های بارش D (یولبریچ^۳، ۱۹۸۳).

α	β	μ	N_0	ϵ	δ	منبع	
208	1.53	-0.27	4.27×10^4	0.08	0.23	Wexler 1948	بارش‌های کوهستانی
109	1.64	-1.03	9.82×10^3	0.055	0.28	Ramana.M and Gupta 1959	
31	1.71	-1.39	1.59×10^4	0.031	0.31	Blanchard 1953	
486	1.37	1.63	2.05×10^5	0.13	0.16	Jones 1956	بارش با طوفان
290	1.41	1.01	1.24×10^6	0.101	0.18	Blanchard 1953	
219	1.41	1.01	2.46×10^4	0.09	0.18	Savaramakrishnan 1961	
450	1.46	0.4	7.05×10^4	0.118	0.2	Fujiwara 1965	بارش گستردہ و فراغیر
313	1.25	4.65	6.4×10^{10}	0.114	0.11	Jones 1956	
255	1.41	1.01	7.53×10^5	0.11	0.18	Atlas and Chmela 1957	
205	1.48	.18	1.96×10^5	0.082	0.21	Fujiwara 1965	
220	1.6	-0.79	7.24×10^4	0.077	0.26	Marshall and palmer 1948	رگبارها
380	1.34	5.04	9.2×10^{10}	0.129	0.1	Jones 1956	
300	1.37	1.63	7.54×10^6	0.106	0.16	Fujiwara 1965	
200	1.5	-0.01	1.09×10^5	0.081	0.22	Imai 1960	
204	1.7	-1.34	1.31×10^3	0.69	0.3	Muchnik	
520	1.81	-1.79	9.13×10^1	0.095	0.35	Foote 1966	
126	2.87	-3.42	1.29×10^0	0.013	0.8	Higgs 1952	

برآورد نادرست بارش رادار مربوط به توزیع اندازه چکه‌های بارش است که بسیار متغیر است و همچنین به انتخاب نادرست رابطه $Z-R$ بستگی دارد و دلایلی مانند واسنجی سخت افزار، پدیده‌های هواشناسی، جداسازی پرتوها، زمان-بندی درست و در برآورد نادرست بارش رادار تاثیر گذار هستند (زاوادسکی^۴، ۱۹۸۴). برای اعتبار بخشیدن و بهینه کردن برآورد مقدار بارش با داده‌های رادار، فاصله کمتر از رادار مهم است. ارزیابی اندازه‌گیری مقدار بارش در فاصله‌های دورتر از رادار، باید مورد مطالعه‌یی بیشتری قرار گیرد (رایزکوف و چور^۵، ۲۰۰۳). پژوهش‌های زیادی برای درک اثرات خصوصیات فیزیکی مراحل توزیع اندازه چکه‌های بارش و تاثیر آن بر رابطه $Z-R$ توسط محققین صورت

1 - Zawadzki

2 - Uijlenhoet

3 - Ulbrich

4 - Ryzhkov and Schuur

گرفته تا داده‌های مشکوک را دار کمتر شود و مقدار برآورد بارش را دار به مقدار واقعی نزدیک‌تر شود (یوجلنهوت، ۲۰۰۱).

واکاوی نقش تاخیر زمانی در برآورد بارش را دار با رابطه $Z-R$ برای بازتابش کم، متوسط و زیاد نشان داد که بیش‌ترین اختلاف بارش اندازه‌گیری شده برای چکه‌ی بارش با قطر یک میلی‌متر و در ارتفاع ۱۰۷۶ متری و برای بازتابش کم، ۱۰ درصد است و اختلاف برآورد بارش برای بازتابش متوسط بسیار ناچیز و قابل چشم‌پوشی است و برای بازتابش زیاد حدود ۶ درصد است. اندازه‌گیری‌های انجام شده بین داده‌های باران‌سنجد و را دار باند K ، برای واکاوی نقش زمان و ارتفاع در برآورد بارش نشان داد که مقدار اختلاف بازتابندگی تا ارتفاع ۵۰۰ متری، ۱ dB است و با افزایش ارتفاع این اختلاف بیشتر می‌شود. باد و توزیع اندازه چکه‌های بارش، اختلاف بازتابندگی را بیش‌ترمی‌کنند. با توجه به تغییرات زیاد ضرایب a و b در رابطه $Z-R$ در ۹۵٪ موارد مشاهده شده است که این ضرایب از یک توفان به توفان دیگر فرق می‌کند. توزیع اندازه چکه‌های بارش در ارتفاع مختلف با هم اختلاف دارد و استفاده از یک رابطه $Z-R$ برآورد بارش، مقدار خطای بارش را بیش‌تر می‌کند (توكای و همکاران، ۲۰۰۸).

نتایج و بحث

الف) بارش ۱۲ و ۱۳ آذر ماه: ۱۳۹۵

به منظور برگزیدن پیوند بین بازتابندگی را دار و شدت بارش در این بازه‌ی زمانی برای تمامی ایستگاه‌های این پژوهش، زاویه‌های مختلف پرتو ارسالی را دار اندازه‌گیری شد و مقدار بازتابندگی بدست آمد. بازتابندگی را دار برای زاویه‌های پرتو را دار با مقادیر ۰,۲، ۰,۳، ۰,۴، ۰,۵، ۰,۶، ۰,۷، ۰,۸، ۰,۹ درجه و همچنین پرتو ارتفاع ثابت ۰,۲ و ۰,۵ کیلومتر را دار برای ۱۲ ایستگاه بدست آمد. و مقدار بارش باران‌سنجد در همان بازه زمانی نیز بدست آمد. و سپس در سیستم دستگاه مختصات، معادله خط و ضریب R^2 ، بازتابندگی با مقدار بارش ایستگاه‌های زمینی بدست آمد. بنابراین برای هر ایستگاه، ۹ معادله خط و ۹ جفت ضرایب مختلف بدست آمد. با استفاده از ضرایب بدست آمده، شدت و مجموع بارش را دار برآورد شد. نتایج بدست برای هر یک از ایستگاه‌ها متفاوت بود. با توجه به مقادیر بارش برآورد شده را دار و جایگاه و دوری ایستگاه‌ها از مرکز را دار، برای هر ایستگاه، زاویه پرتو بهینه به گونه‌ای انتخاب شد که بهترین برآورد بارش، بیش‌ترین همبستگی و کمترین مقدار مربعات خطای بارش را داشته باشد (جدول ۲).

جدول ۲: معادله خط و ضرایب a, b و برگزیدن رابطه Z-R رادار برای بارش ۱۲ تا ۱۳ آذر ۱۳۹۵

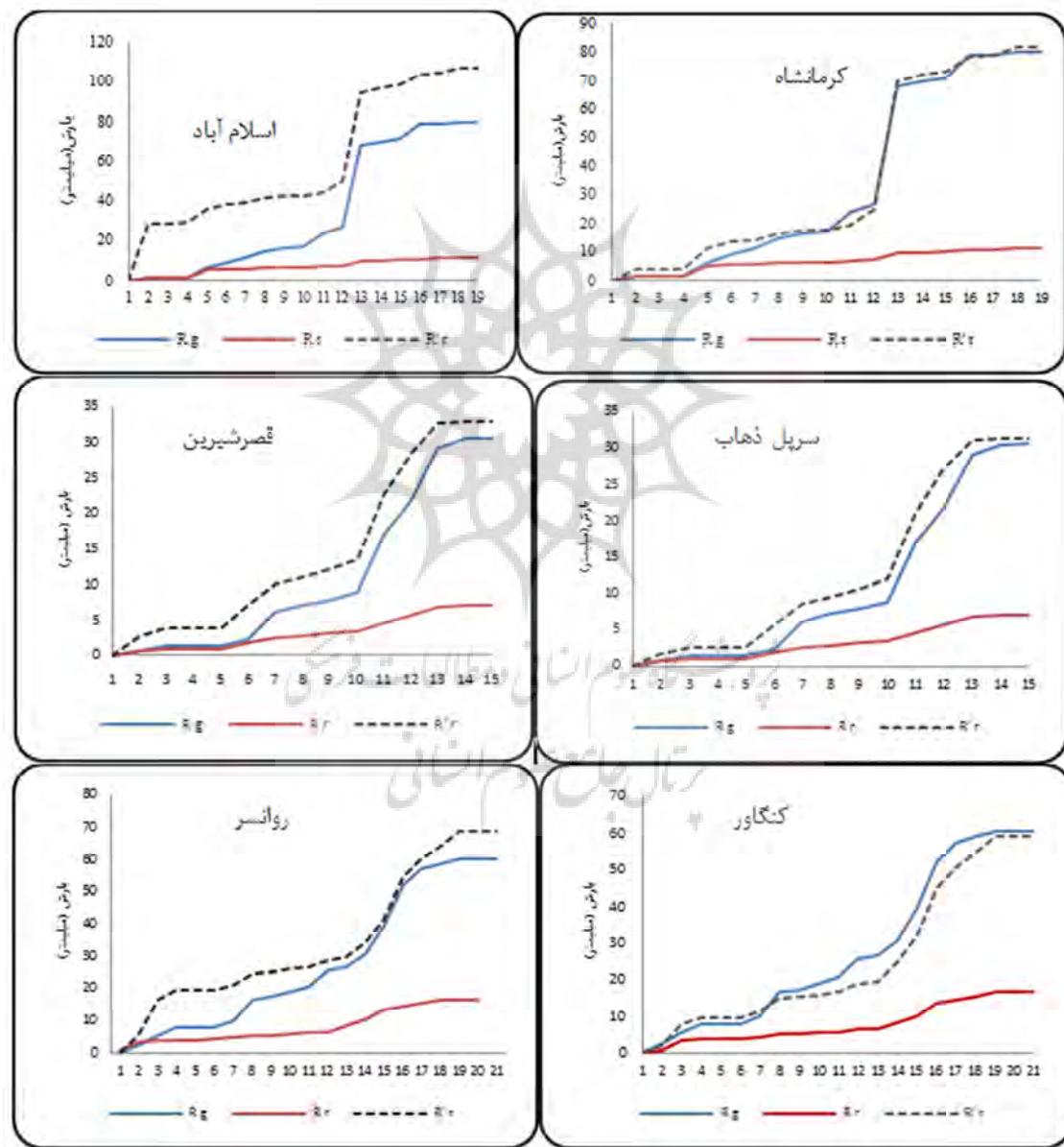
ایستگاه	معادله خط	R2	مشاهدات	مقدار a	b	رابطه Z-R
کرمانشاه	$Y=1.2379 X + 1.516$	R2=0.7407	18	32	1.22	Z=32×R1.22
سریل	$Y=1.0549 X + 1.2955$	R2=0.9295	25	23	1.16	Z=23×R1.16
قصرشیرین	$Y=1.271 X + 1.4922$	R2=0.8484	27	30	1.17	Z=30×R1.17
اسلام آباد	$Y=1.271 X + 1.4922$	R2=0.8484	24	31	1.27	Z=31×R1.27
کنگاور	$Y=1.1166 X + 1.5768$	R2=0.7873	155	38	1.12	Z=38×R1.12
روانسر	$Y=1.048 X + 1.7183$	R2=0.8782	11	52	1.05	Z=52×R1.05
سنقر	$Y=1.175 X + 1.7639$	R2=0.9172	11	58	1.18	Z=58×R1.18
گیلانغرب	$Y=1.0458 X + 1.2955$	R2=0.8372	18	34	1.17	Z=33×R1.24
هرسین	$Y=1.1249 X + 1.3552$	R2=0.8324	23	24	1.21	Z=38×R1.17
تازه آباد	$Y=1.1541 X + 1.3235$	R2=0.8654	16	13	1.16	Z=36×R1.08

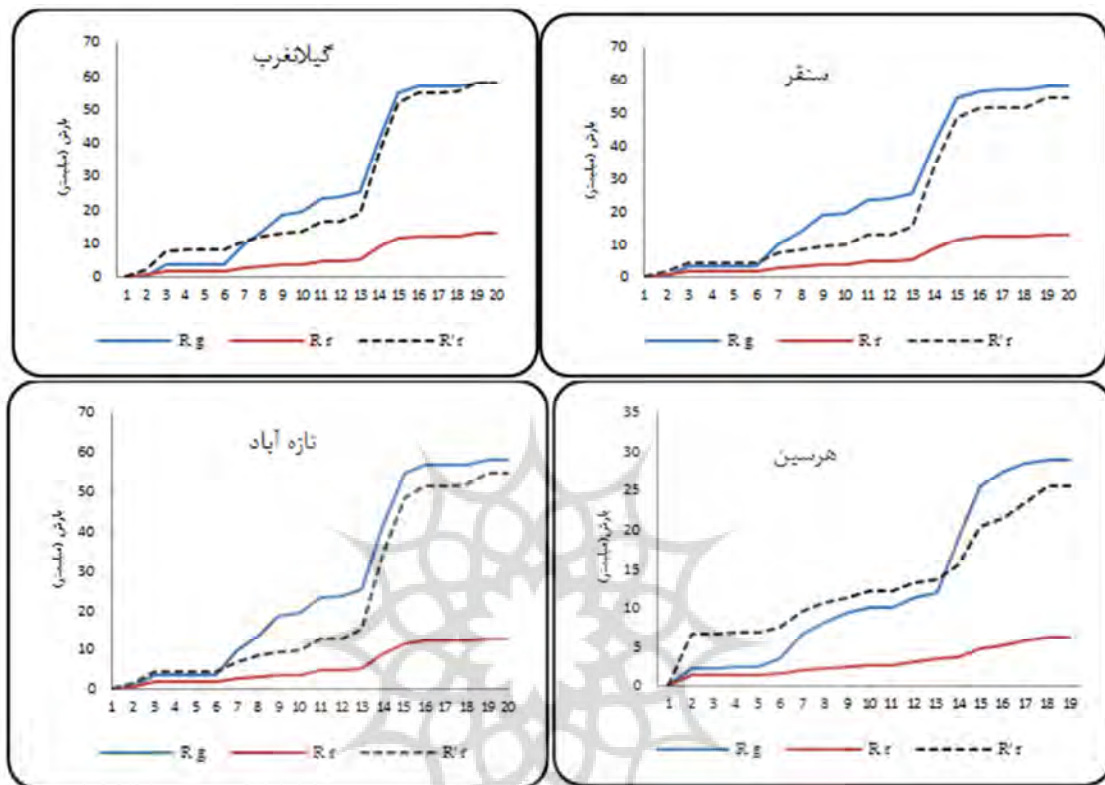
پس از انتخاب بهترین ضرایب تصحیح شده a,b و با جایگزینی مقادیر این ضرایب در معادله رادار و به کمک نرمافزار، نخست شدت بارش و سپس مجموع بارش ساعتی برای تمامی ایستگاهها برآورد شد و نمودار بارش تجمعی آنها ترسیم شد. نمودار مقایسه‌ای مجموع بارش ساعتی رادار قبل از تصحیح ضرایب (R_r) و بعد از تصحیح ضرایب و واسنجی رادار (\hat{R}_r) و مجموع بارش باران سنج (R_g), در نگاره‌های شماره ۳ و ۷ به نمایش گذاشته شده است. با تصحیح ضرایب a, b رادار و برآورد مجدد مجموع بارش ساعتی دیده شد که مقدار و شیوه وردش بارش در حد پذیرفتی به واقعیت نزدیک می‌شود (جدول ۳).

جدول ۳: مقدار بارش برآورده شده رادار قبل و بعد از تصحیح ضرایب و بارش باران سنج مربوط به بارش ۱۲ تا ۱۳ آذر ۱۳۹۵

ایستگاه	بارش باران- سنج (میلی- متر)	بارش براورد رادار قبل از تصحیح ضرایب (میلی- متر)	بارش براورد رادار قبل از تصحیح ضرایب (درصد)	بارش براورد رادار قبل از تصحیح ضرایب (میلی‌متر)	بارش براورد رادار بعد از تصحیح ضرایب (درصد)	بارش براورد رادار بعد از تصحیح ضرایب (میلی‌متر)	ایستگاه
کرمانشاه	۲۷.۹	۷.۲	٪۱۲۲	۲۶.۵	٪۲۱	٪۱۲۲	برآورد رادار بعد از تصحیح ضرایب (درصد)
سریل	۳۰.۹	۱۰.۴	٪۱۳۳	۲۷.۶	٪۱۴	٪۱۳۳	برآورد رادار بعد از تصحیح ضرایب (درصد)
قصرشیرین	۶۰.۴	۱۶.۵	٪۱۱۴	۵۵	٪۲۷	٪۱۱۴	برآورد رادار بعد از تصحیح ضرایب (درصد)
اسلام آباد	۴۷.۸	۱۲.۸	٪۱۰۰	۴۶.۹	٪۲۲	٪۱۰۰	برآورد رادار بعد از تصحیح ضرایب (درصد)
کنگاور	۳۰.۷	۷.۱	٪۱۰۷	۲۹.۹	٪۲۳	٪۱۰۷	برآورد رادار بعد از تصحیح ضرایب (درصد)
روانسر	۴۲.۳	۹.۸	٪۱۱۶	۳۹.۸	٪۲۶	٪۱۱۶	برآورد رادار بعد از تصحیح ضرایب (درصد)
سنقر	۱۹.۵	۶.۱	٪۹۲	۱۸	٪۳۲	٪۹۲	برآورد رادار بعد از تصحیح ضرایب (درصد)
گیلانغرب	۳۲.۲	۱۰.۳	٪۱۱۲	۳۳.۱	٪۲۵	٪۱۱۲	برآورد رادار بعد از تصحیح ضرایب (درصد)
هرسین	۲۹.۶	۶.۴	٪۱۰۵	۳۰.۳	٪۲۳	٪۱۰۵	برآورد رادار بعد از تصحیح ضرایب (درصد)
تازه آباد	۵۴.۳	۱۹.۶	٪۱۱۴	۵۱.۹	٪۱۹	٪۱۱۴	برآورد رادار بعد از تصحیح ضرایب (درصد)

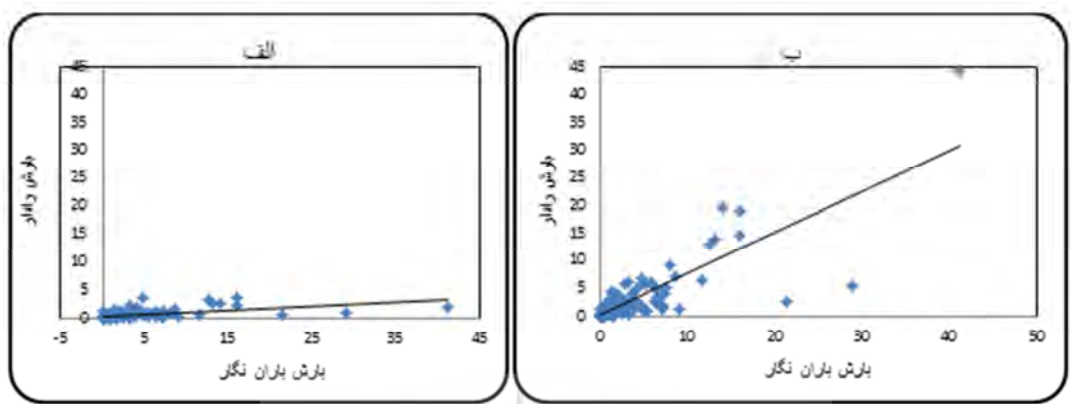
مقادیر برآورد شده بارش که پس از تصحیح دوباره ضرایب رادار برای ساعت نخست بارش بدست آمد در اغلب ایستگاه‌ها روند و مجموع بارش منطقی‌تری را نشان داد (شکل ۳). که این دیدگاه را تقویت می‌کند که توزیع اندازه چکه‌ها بارش نه تنها در فصول مختلف و بارش‌های مختلف با هم فرق دارد بلکه در داخل یک بارش هم می‌تواند متفاوت باشد.





شکل ۲: بارش تجمعی ایستگاهها. R_r بارش برآورده رادار قبل از تصحیح ضرایب، R'_f بارش برآورده رادار بعد از تصحیح ضرایب و R_g بارش باران سنج

مجموع بارش کلی که رadar کرمانشاه (قبل از واسنجی) برآورد می‌کند از مقدار واقعی بارش بسیار کمتر است و این ناسازگاری در مواردی که مقدار مجموع و شدت بارش زیاد است، چشمگیر است. در این پژوهش با تصحیح ضرایب رadar این ناسازگاری به میزان قابل توجهی کاهش یافته است. در چهار ایستگاه کرمانشاه، اسلام آباد، قصرشیرین و سرپل مقدار برآورده بارش رadar بیشتر از ۹۰ درصد مقدار واقعی بود و در سایر ایستگاهها مقدار برآورده بارش رadar، تنها چند درصد بیشتر از مقدار واقعی بود. که با توجه به گستره منطقه‌ای که رadar فرآیند اندازه‌گیری بارش را در هر اسکن انجام می‌دهد و مقایسه آن با مقادیر برآورده بارش قبل از تصحیح، این ناسازگاری قابل چشمپوشی است. در نتیجه می‌توان مقادیر برآورده بارش رadar کرمانشاه را پس از واسنجی، در حد قابل قبول درنظر گرفت. بطور میانگین با تصحیح ضرایب رadar، مقدار برآورده بارش رadar از ۲۴ درصد به ۹۶ درصد مقدار واقعی افزایش یافت، و میانگین مجموع بارش از ۱۱,۸ میلی‌متر به ۳۵,۴ میلی‌متر رسید که از مقدار میانگین واقعی بارش ۶ میلی‌متر کمتر بود (شکل ۳).



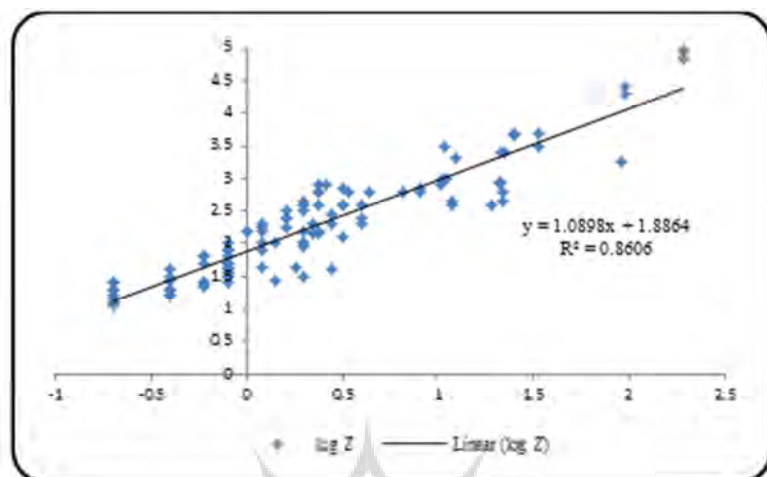
شکل ۳: نمودار پراکنش مقایسه بارش باران سنج و مقدار برآورد رادار (الف) قبل از واسنجی (ب) بعد از واسنجی

ب) بارش ۲۴ تا ۲۲ بهمن ماه ۹۶:

در این بخش از پژوهش بارش روز ۲۴ تا ۲۲ بهمن ۱۳۹۶ مورد بررسی قرار گرفت. با استفاده از داده‌های بارش زمینی تمامی ایستگاه‌های مورد مطالعه و مقدار فاکتور بازتابندگی رادار Z، یک معادله کلی برای رادار بدست آمد (نگاره ۵). چون برای محاسبه معادله خط و ضرایب تصحیح رادار از داده‌های بارش ایستگاه‌های مختلف استفاده شد، برای گزینش استقلال داده‌ها، آزمون دوربین-واتسون در سطح معنی داری ۹۵ درصد، بین داده‌های بازتابندگی و بارش انجام گرفت و استقلال داده‌ها تایید شد (جدول ۴).

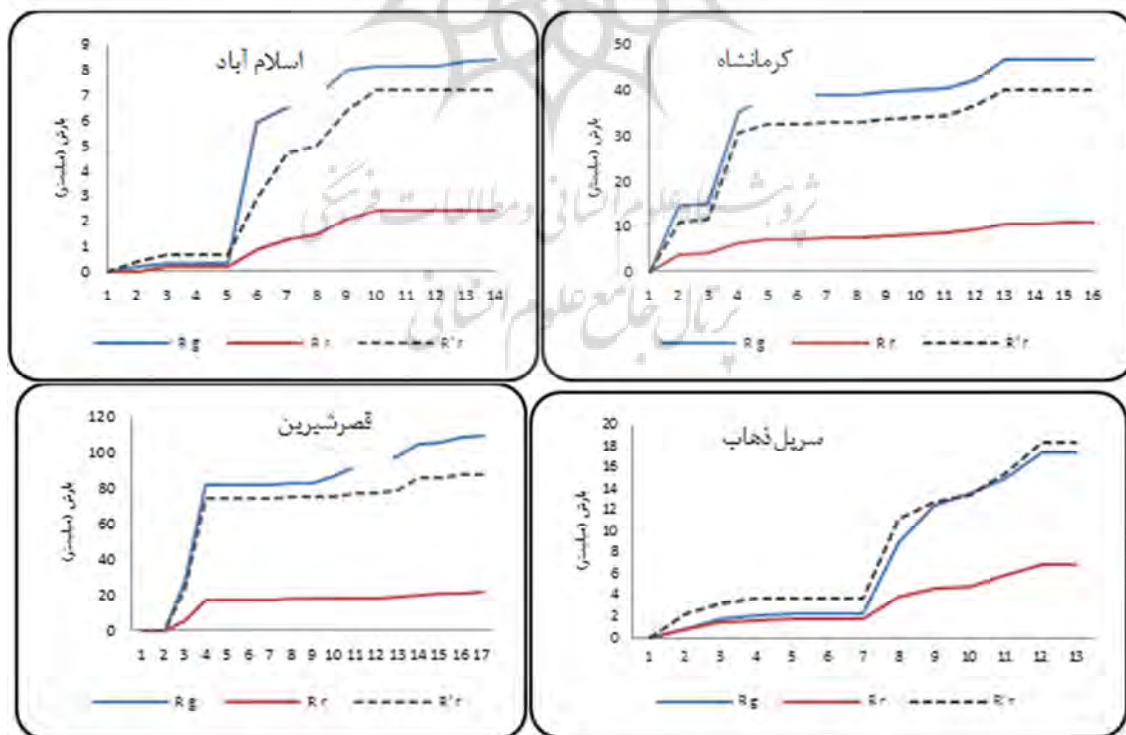
جدول ۴: آزمون آماری دوربین-واتسون برای گزینش استقلال داده‌ها

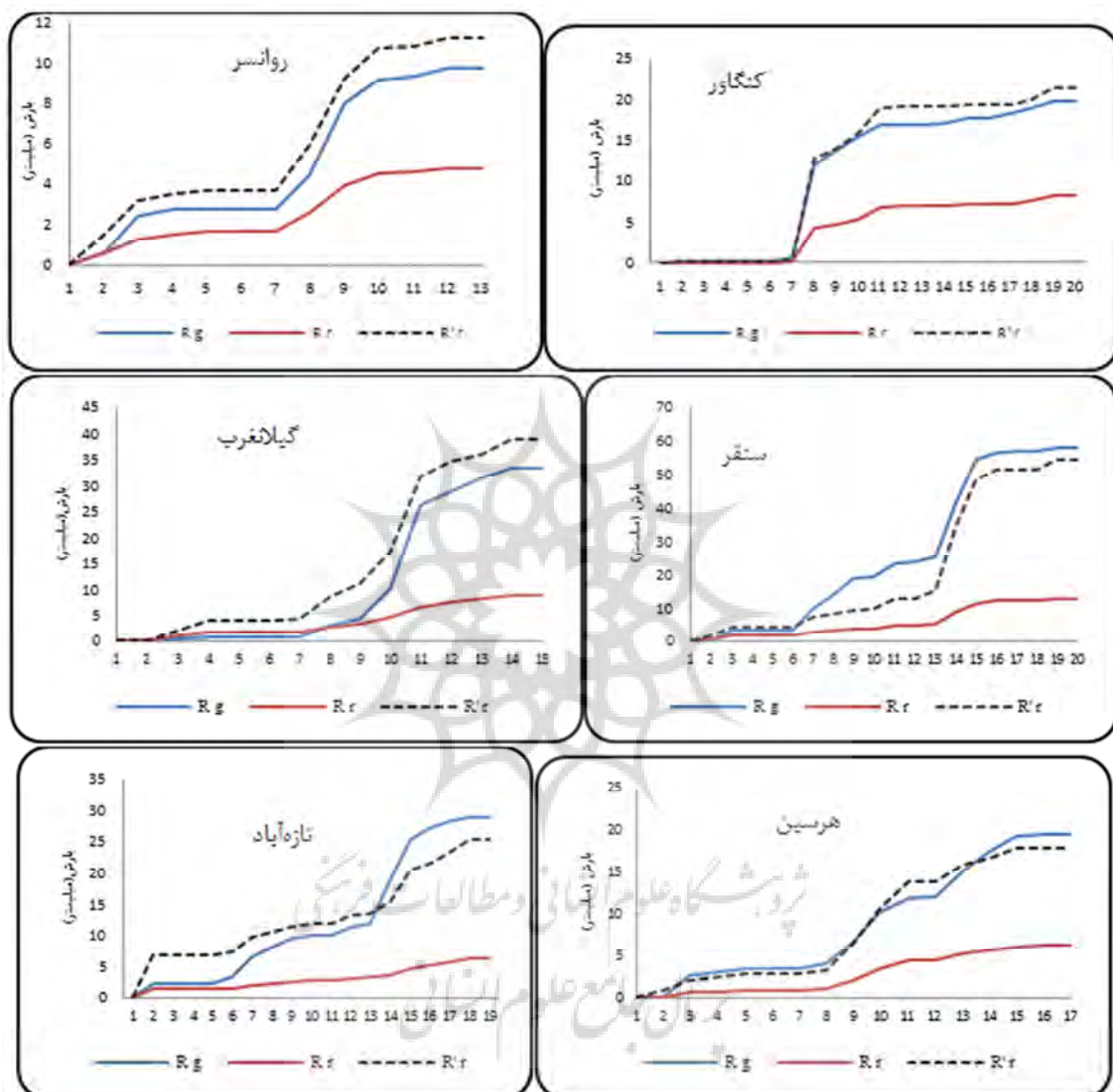
تحلیل رگرسیون		آزمون دوربین-واتسون					
Multiple R	.۹۲۷	Alpha	.۰۰۵				
R Square	.۸۶۰	D-stat	۱/۴۹۸				
Adjusted R Square	.۸۵۹	D-lower	۱/۶۷۳				
Standard Error	.۲۰۷	D-upper	۱/۷۰۹				
Observations	۱۱۲	sig	yes				
ANOVA							
	df	SS	MS	F	p-value	sig	
Regression	۱	۶۴/۱۳	۶۴/۱۳	۹۷۸/۸۸۸	۷/۱۳E-۴۹	yes	
Residual	۱۱۰	۱۰/۳۹	.۰۰۹۴				
Total	۱۱۱	۷۴/۵۲					
	coeff	std err	t stat	p-value	lower	upper	
Intercept	۱/۸۸۶	.۰۳۲	۵۸/۸۹۲	۵/۱۴E-۸۵	۱/۸۲۲	۱/۹۴۹	
0	۱/۰۸۹	.۰۰۴۱	۲۶/۰۵۵	۷/۱۳E-۴۹	۱/۰۰۶	۱/۱۷۲	



شکل ۴: معادله خط و مقدار R^2 مربوط به بارش ۲۴ تا ۲۶ بهمن ماه ۱۳۹۶

با جایگزینی ضرایب b ، a در رابطه اصلی را دار، نخست شدت بارش استخراج و سپس مجموع بارش ساعتی برای تمام ایستگاه‌های مورد مطالعه برآورد شد. نمودار بارش تجمعی و مقایسه آن با مقادیر قبل از تصحیح به تفکیک هر یک از ایستگاه‌های مورد مطالعه در شکل ۵ ترسیم گردیده است.



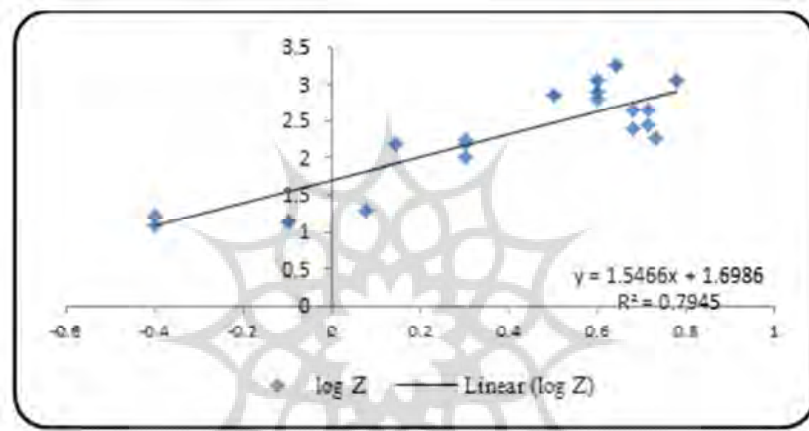


شکل ۵: بارش تجمعی ایستگاه‌ها. R_r بارش برآورده را در قابل از تصحیح ضرایب، R'_f بارش برآورده را در قابل از تصحیح ضرایب و R_g بارش باران سنگ

نکته مهم در برآورده بارش توسط رادار مربوط به مجموع کلی بارش است که در اغلب برنامه‌ریزی‌های کشور و بخصوص در زمینه پیش‌بینی سیل، هیدرولوژی و کشاورزی از اهمیت خاصی برخوردار است. در پیش‌بینی رخداد سیل آگاهی از شدت و اندازه بارش بسیار ضروری و مهم است.

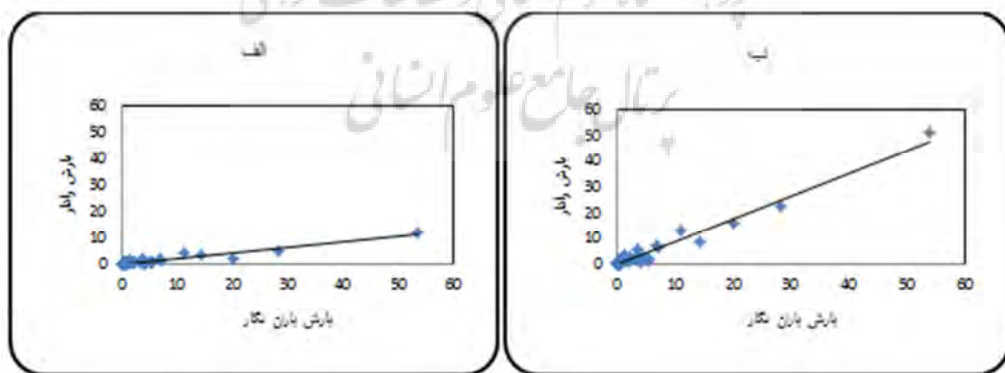
نکته‌ای که در بیشتر نمودارهای بارشی ایستگاه‌ها دیده می‌شود، این است که هرچند که روند و مجموع بارش برآورده شده پس از تصحیح ضرایب و واسنجی رادار تا حدود زیادی بهبود یافته است ولی مقادیر برآورده شده رادار در ساعت

نخستین بارش، بیشتر از مقدار اندازه‌گیری شده توسط بارانسنج بود. که موجب افزایش مجموع بارش برآورد شده در قیاس با مجموع بارانسنج شد. چون این خطا در بیشتر ایستگاه‌ها دیده شد، این گمانه که ممکن است اندازه و توزیع چکه‌های بارش در گام نخست بارش با گام بعدی آن متفاوت باشد، تقویت کرد. بنابراین برای واکاوی و حل این چالش، بارش در تمامی ایستگاه‌ها به دو بخش تقسیم شد و برای بخش اول بارش که ناسازگاری بیشتری بین بارش برآورد رادار و بارانسنج وجود داشت یک معادله خط مشترک و مقدار ضرایب a, b برای تمامی ایستگاه‌ها دوباره بدست آمد (شکل ۶).



شکل ۶: برگزیدن معادله خط و ضرایب برای بخش اول بارش مورخ ۲۴ تا ۲۴ بهمن ماه ۹۶ و $a=50$ و $b=1.55$

در شکل (۷) پراکنش داده‌های بارش برآورد شده رادار قبل و بعد از واسنجی با مقدار بارش بارانسنج نشان داده شده است، به طوری که در این نگاره می‌توان دید دقت برآورد به طور قابل ملاحظه‌ای افزایش یافته است.



شکل ۷: نمودار پراکنش مقایسه بارش باران سنج و مقدار برآورد رادار (الف) قبل از واسنجی (ب) بعد از واسنجی

به طوری که در نگاره‌های مربوط به بارش‌های مورد بررسی دیده می‌شود، مقایسه مجموع بارش ساعتی رادار در قبل و بعد از تصحیح ضرایب و واسنجی، با مقادیر بارش بارانسنج ایستگاه‌های مورد مطالعه، نشان می‌دهد که در بیشتر

ایستگاه‌ها داده‌های مجموع بارش برآورد شده و روند ورخش بارش را در پس از تصحیح ضرایب، هماهنگی مناسبی با داده‌های بارش باران‌سنجدار دارد. البته در دو ایستگاه سرپل و قصرشیرین مقدار برآورد بارش را در با ناسازگاری بیش‌تری همراه است که البته با توجه به مجموع کم بارش در این دو نقطه، این مقدار خطأ در نمودار بارش تجمعی آنها نمود بیشتری دارد.

نتیجه‌گیری

داده‌های بارش برآورد شده را در دو نمونه از بارش‌های سنگین استان کرمانشاه در این پژوهش نشان داد که مقدار ضرایب تصحیح را در برای هر بارش فرق می‌کند. همچین مقادیر ضرایب برای هر بارش با توجه به موقعیت جغرافیایی و فاصله از رادار نیز فرق می‌کند. همچنین برای یک نقطه خاص و برای یک بارش هم ممکن است این ضرایب مختلف باشد. مقادیر بدست آمده ضرایب را در این پژوهش با آنچه که به عنوان پیش‌فرض در معادله را در آمده است متفاوت بود که در نتیجه برآورد بارش توسط رادار بسیار کمتر از مقدار بارش باران‌سنجدار بود که پس از واسنجی، این ناسازگاری کمتر و مقدار برآورد بارش به واقعیت نزدیک شد. به طور کلی واسنجی برآورد بارش را در هواشناسی کرمانشاه نشان داد که مقادیر برآورد بارش را در از مقادیر بارش باران‌سنجدار کمتر است. که این ناسازگاری میان رادار و باران‌سنجدارها در اوج شدت بارش بیشتر است. و این یافته‌ها با نتایج پژوهش محمدیها و همکاران (۱۳۹۲) که را در هواشناسی تهران را واسنجی کرده بودند، نیز هماهنگی دارد. آنها نیز برای کم کردن ناسازگاری ضرایب a, b رابطه لگاریتمی را در $Z = aR^b$ را برای بارش‌های این منطقه تصحیح کرده که پس از تصحیح، مقادیر بارش برآورد شده را در نسبت به داده‌های زمینی، از ۴۰٪ قبل از تصحیح به ۹۰٪ بعد از تصحیح دارند. و این پژوهش نشان داد که با تصحیح ضرایب را در هر نقطه و در هر فصل، برآورد بارش را در درست نزدیکتر می‌شود و اگر کارشناسان و مسئولان را در کرمانشاه از فرمول‌های به دست آمده در این پژوهش استفاده کنند، می‌توانند قبل از وقوع بارش، پیش‌بینی دقیق انجام دهند و هشدارهای لازم را به ادارات و سازمان‌های مربوطه صادر نمایند تا از وقوع حوادث ناشی از بارش‌های سنگین جلوگیری به عمل آید. این پژوهش نشان داد که چنانچه زاویه پرتو ارسالی را در به دقت انتخاب شود و برای هر نقطه زمینی با توجه به فاصله آن از رادار، یک معادله و ضرایب تصحیح جداگانه برای واسنجی را در بدست آید، آنگاه نتایج برآورد بارشی را در به مقدار واقعی بارش بسیار نزدیک می‌شود. چون بدست آوردن زاویه ارتفاع پرتوی مناسب برای هر ایستگاه و محاسبه ضرایب مربوط به آن نقطه، کار سخت و دشوار و زمان بری بوده و چنانچه تعداد نقاط مورد مطالعه بیشتر باشد بر دشواری کار افزوده خواهد شد، لذا می‌توان با استفاده از داده‌های بارشی تمام نقاط مورد مطالعه و باتابندگی را در، یک معادله کلی استخراج و ضرایب تصحیح را بدست آورده و را برای واسنجی کرد. هرچند که در این روش اندکی از دقت داده‌های بارش برآورد شده کم می‌شود. نتایج این پژوهش نشان داد که با این روش هم می‌توان بارش را تا حد قابل اعتمادی برآورد کرد. در نهایت پیشنهاد می‌شود که برای هر منطقه کشور ایران که تحت پوشش را در هواشناسی است، ضرایب معادله را در محاسبه گردد تا با استفاده از آنها بتوان بارش‌ها را به طور دقیق پیش‌بینی کرد و هشدارهای لازم را به مراکز مختلف داد.

منابع

- اسکولین، مریل، (۱۳۹۲). مقدمه‌ای بر سیستم رادار، ترجمه سهیلی فرد و آقابابی. انتشارات ادبستان (ویرایش سوم).
- قاله‌ی فلاح غلامی‌باش؛ کدخدا الهام (۱۳۹۶). ارزیابی ساختار مکانی بارش نیم قرن اخیر دشت مشهد، مجله ژئوهیدرولوژی، ۳(۱)، ۵۷-۳۹.
- طوفانی نژاد، زهرا، کمالی، غلامعلی، علیزاده، میلاد (۱۳۸۸)، کاربرد رادارهای هواشناسی باند X در برآورد میزان بارندگی در حوضه‌های کوچک، مجله آب و خاک، ۱۳(۱)، ۶۷-۵۷.
- محمدیها احمد؛ معماریان محمد؛ ریحانی‌پوری محمد (۱۳۹۲). ارزیابی برآوردهای رادار هواشناسی تهران از کمیت بارش به روش Z-R برای سه رویداد بارش سال‌های ۲۰۱۰ و ۲۰۱۱، ۲۰۱۱، ۲۰۱۰ و ۲۰۱۱، ۲۰۱۱، ۲۰۱۰ و ۲۰۱۱، ۲۰۱۱.
- مکوندی، هامون. (۱۳۸۹)، کالیبراسیون رادار هواشناسی با استفاده از داده‌های باران‌سنج خودکار به منظور ارزیابی دقیق تخمین بارندگی رادار، پایان‌نامه کارشناسی ارشد، استاد راهنمای دکتر محمد موسوی، رشته مهندسی آب، دانشگاه فردوسی مشهد.
- Amitai, E., Wolff, D.B., Marks, D.A., Silberstein, D.S., (2002), Radar rainfall estimation; lessons learned from the NASA / TRMM validation program, Proceedings of ERAD publication series, 1, 255-260.
- Battan, L.J., (1973), Radar observation of the atmosphere. The University of Chicago Press, Chicago, pp. 324.
- Christodoulous. C. MichaelidesS M. G., (2004), Prediction of rainfall rate based on weather radar measurements. International Joint Conference on Neural Networks, (IEEE Cat. No.04CH37541).
- Gunn, R. and Kinzer, G.D., (1949), The terminal velocity of fall for water droplets in stagnant air. J. Meteorol., 6, 243–248.
- Hagen, M., Yuter, S., (2002), Relations between radar reflectivity, Liquid-water content, and rainfall rate during the MAP SOP, J.R Meteorol, Sol, 129, 477-493.
- Lee, G., Seed, A.W., Zawadzki, I., (2007), Modeling the variability of drop size distributions in space and time. Journal of Climate and Applied Meteorology, 46 (6), 742–756.
- Lee, G., Zawadzki, I., (2005), Variability of drop size distributions: time-scale dependence of the variability and its effects on rain estimation. Journal of Applied Meteorology, 44(2), 241–255.
- Lee.G.W., Zawadzki.I., (2004), Variability of drop size distribution: Noise and Noise filtering in disdrometric data; Journal of applied meteorology, 44, 634-652.
- Marshall, J.S., Hitschfeld, W. and Gunn, K.L.S., (1955), Advances in radar weather. Adv. Geophys., 2, 1–56.
- Overeem, A. Buishand, T. A. and Holleman, I., (2009), Extreme rainfall analysis and estimation of depth-duration-frequency using weather radar, Water Resources Research, 45, 1-15.
- Overeem, A., Holleman, I., Buishand, A., (2008), Derivation of a 10-Year Radar-Based Climatology of Rainfall, Journal of Applied Meteorology and Climatology. 48, 1448-1463.
- Pedersen, I., Jensen, N.E., Madsen, H., (2010), Calibration of Local Area Weather Radar—Identifying significant factors affecting the calibration; Atmospheric Research, 97, 129–143.
- Smith, J.A., Krajewski, W.F., (2002), Radar hydrology: rainfall estimation. Advance in Water Resources, 25, 1387-1394.
- Tokay, A., Hartmann, P., Battaglia, A., (2008), A Field Study of Reflectivity and Z-R Relations Using Vertically Pointing Radars and Disdrometers, Journal of Atmospheric and Oceanic Technology, 26, 1120-1134.
- Uijlenhoet, R., (2001), Raindrop size and radar reflectivity-rain rate relationships for radar hydrology, Hydrology and Earth System Sciences, 5 (4), 615–627.
- Uijlenhoet, R., Stricker, J. N. M., (1999), Dependence of rainfall on drop size, J. of Hydrology, 217, 157-163.
- Wang G., Liu L., Ding Y., (2012), Improvement of Radar Quantitative Precipitation Estimation Based on Real-Time Adjustments to Z-R Relationships and Inverse Distance Weighting Correction Schemes, Advances in Atmospheric, 29(3), 575-584.

Research Article

Forecast of heavy rainfall in West of Iran According to Weather Radar Estimates Using the Z-R method

Farshad Safarpour¹, Javad Khoshhal Dastjerdi^{*2}, Abolfazl Masoodian³

Received: 03-05-2018

Revised: 13-10-2018

Accepted: 15-12-2018

Abstract

The amount of precipitation measured by the radar is different from the amount of precipitation received on the ground. This difference has many causes, some of which are related to the nature of the radar and others to the climate of each region. As a result, radar data needs to be corrected for radar data based on terrestrial data to determine the amount of ground-level rainfall received from the radar data. Weather radar used for estimation of rain in the large areas. The relationship between rain and reflectivity radar is exponential $Z = aR^b$. Radar estimated rainfall amount is incorrect if the coefficients of this model are wrong. Drop size and distribution of rainfall is Effective on the coefficient of this model. The change in the coefficients of this model is very high. In this study, to calibrate radar data, rain from 2 to 3 December 2016 and 11 to 13 February 2018 at the stations, Kermanshah, Eslamabad, Sarpol, Ghasre Shirin, Harsin, Javanroud, Tazabad, Songhor, Ravansar, Ghilan Gharb and Soumar at distance of 30 to 100 kilometers from Kermanshah's radar are investigated. In the first rain, using soft Rainbow for each of the stations and radar beam elevation angle optimization and correction factors relating to the extraction station, respectively. With this relationship, the radar rainfall estimates from 31 percent to 96 percent Increased and the average total rainfall from 8.9 to 32.4 millimeter increased an average radar rainfall estimated only 1 millimeter less than actual rain by gauge. In the second rain, using data from all stations, only one equation and correction factors were obtained. The results rainfall radar will be accepted at this stage, good approximation, and the average estimate rainfall radar from 9.6 to 23.5 millimeter increased those 4 millimeters less than the actual amount by gauge. If radar coefficients are corrected correctly for different areas, precipitation can be predicted and prevented from occurring unexpected events.

Keywords: Weather Radar, rainfall estimation, calibration, West of Iran.

¹- Ph.D student of Climatology, Isfahan University, Isfahan, Iran

^{2*}- Associate Professor of Climatology, Isfahan University, Isfahan, Iran

³- Professor of Climatology, Isfahan University, Isfahan, Iran

Email: j.khoshhal@geo.ui.ac.ir

References

References (in Persian)

- Ghalhari Fallah, G., Kadkhoda, E., (2017), The Evaluation of the Spatial Structure of Mashhad Plain Precipitation in the Last Half-Century, *Hydrogeomorphology*, 3(11). 39-57. [In Persian]
- Makvandi, H., (2010), Meteorological radar calibration using automatic rain gauge data to evaluate the precision of radar rainfall estimation, Master's Thesis, Supervisor: Dr. Mohammad Mousavi, Water Engineering, Ferdowsi University of Mashhad. [In Persian]
- Mohammadiha, A., Meamarian, M., Reyhani Parvari, M., (2013), Estimation of Tehran weather radar of precipitation quantity by Z-R method for three precipitation events of 2010 and 2011, *Journal of Physics of Earth and Space*, 3(2), 187-204. [In Persian]
- Scolin, M. (2013), Introduction to radar system, Translation by Soheilifard, Mohammad Reza and Aghababaei Majid, Adabestan Publishing (Third edition). [In Persian]
- Tufaninejad, Z., Kamali, G., Alizadeh, M., (2009), Application of X-ray meteorological radars in estimating rainfall in small basins, *Water and Soil Journal*, 23 (1), 67-57. [In Persian]

References (in English)

- Amitai, E., Wolff, D.B., Marks, D.A., Silberstein, D.S., (2002), Radar rainfall estimation; lessons learned from the NASA / TRMM validation program, *Proceedings of ERAD publication series*, 1, 255-260.
- Battan, L.J., (1973), *Radar observation of the atmosphere*. The University of Chicago Press, Chicago, pp. 324.
- Christodoulous, C. Michaelides S M. G., (2004), Prediction of rainfall rate based on weather radar measurements. *International Joint Conference on Neural Networks*, (IEEE Cat. No.04CH37541).
- Gunn, R. and Kinzer, G.D., (1949), The terminal velocity of fall for water droplets in stagnant air. *J. Meteorol.*, 6, 243–248.
- Hagen, M., Yuter, S., (2002), Relations between radar reflectivity, Liquid-water content, and rainfall rate during the MAP SOP, *J.R Meteorol, Sol*, 129, 477-493.
- Lee, G., Seed, A.W., Zawadzki, I., (2007), Modeling the variability of drop size distributions in space and time. *Journal of Climate and Applied Meteorology*, 46 (6), 742–756.
- Lee, G., Zawadzki, I., (2005), Variability of drop size distributions: time-scale dependence of the variability and its effects on rain estimation. *Journal of Applied Meteorology*, 44(2), 241–255.
- Lee.G.W., Zawadzki, I., (2004), Variability of drop size distribution: Noise and Noise filtering in disdrometric data; *Journal of applied meteorology*, 44, 634-652.
- Marshall, J.S., Hitschfeld, W. and Gunn, K.L.S., (1955), Advances in radar weather. *Adv. Geophys.*, 2, 1–56.
- Overeem, A. Buishand, T. A. and Holleman, I., (2009), Extreme rainfall analysis and estimation of depth-duration-frequency using weather radar, *Water Resources Research*, 45, 1-15.
- Overeem, A., Holleman, I., Buishand, A., (2008), Derivation of a 10-Year Radar-Based Climatology of Rainfall, *Journal of Applied Meteorology and Climatology*. 48, 1448-1463.
- Pedersen, I., Jensen, N.E., Madsen, H., (2010), Calibration of Local Area Weather Radar—Identifying significant factors affecting the calibration; *Atmospheric Research*, 97,129–143.
- Smith, J.A., Krajewski, W.F., (2002), Radar hydrology: rainfall estimation. *Advance in Water Resources*, 25, 1387-1394.
- Tokay, A., Hartmann, P., Battaglia, A., (2008), A Field Study of Reflectivity and Z-R Relations Using Vertically Pointing Radars and Disdrometers, *Journal of Atmospheric and Oceanic Technology*, 26,1120-1134.
- Uijlenhoet, R., (2001), Raindrop size and radar reflectivity-rain rate relationships for radar hydrology, *Hydrology and Earth System Sciences*, 5 (4), 615–627.
- Uijlenhoet, R., Stricker, J. N. M., (1999), Dependence of rainfall on drop size, *J. of Hydrology*, 217, 157-163.
- Wang G., Liu L., Ding Y., (2012), Improvement of Radar Quantitative Precipitation Estimation Based on Real-Time Adjustments to Z-R Relationships and Inverse Distance Weighting Correction Schemes, *Advances in Atmospheric*, 29(3), 575-584.